

КВАЗИДВУМЕРНЫЙ СПИН-ПОЛЯРИЗОВАННЫЙ АТОМАРНЫЙ ВОДОРОД

Ю.Каган, Г.В.Шляпников, И.А.Вартаньянц, Н.А.Глухов

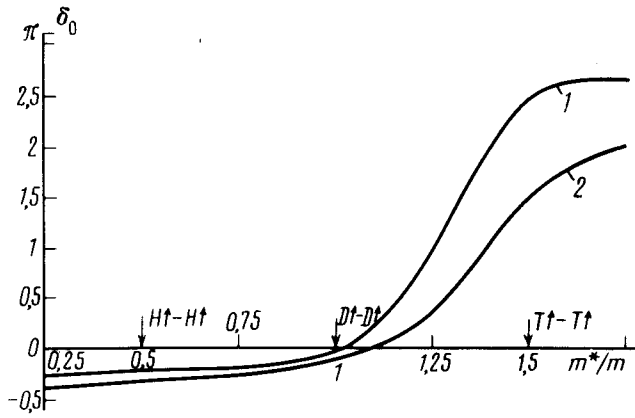
Показано, что адсорбированный на поверхности квазидвумерный спин-поляризованный водород остается атомарным газом при $T \rightarrow 0$. Установлено, что на гелиевой поверхности сильная делокализация атома в направлении, перпендикулярном поверхности, обусловливает трехмерный характер столкновений частиц и, как следствие, принципиальное изменение кинетики распада поляризованной фазы.

1. При анализе спин-поляризованного атомарного водорода особый интерес представляют свойства квазидвумерной фазы, возникающей при адсорбции атомов на поверхности. Интересная сама по себе, в частности с точки зрения проявления сверхтекущих свойств, эта фаза играет критическую роль в кинетике рекомбинации поляризованного газа атомарного водорода (см: ^{1 – 3}). При малой энергии адсорбции ϵ_0 , характерной для поверхности, покрытой гелием, атомы водорода свободно движутся вдоль поверхности, образуя квазидвумерный газ. Поэтому первый вопрос, который возникает, – появляется ли в реальном триплетном потенциале взаимодействия двух атомов водорода при переходе к двумерному случаю связанное состояние. При отрицательном ответе возникает второй вопрос – не образуются ли на поверхности капли двумерной жидкости, даже если средняя поверхностная плотность атомов водорода мала.

При малой энергии адсорбции характерная длина локализации атома l в направлении, перпендикулярном поверхности, оказывается большой. Если $l \gg R_0$ ($R_0 \approx 3,5\text{\AA}$ – характерный радиус межатомного взаимодействия), то столкновения частиц в значительной степени приобретают трехмерный характер. Это принципиально меняет предельное заполнение поверхности и кинетику распада поляризованной фазы. Такая ситуация имеет место уже в случае покрытия поверхности пленкой смеси $\text{He}^3 - \text{He}^4$ ($\epsilon_0 \approx 0,35\text{K}$ ^{4, 5}), для которой $l \approx 2,5R_0$.

2. Для анализа вопроса о наличии связанного состояния у пары частиц в двумерном случае мы использовали прямое решение уравнения Шредингера с триплетным потенциалом Колоса – Волниевича⁶, рассматривая массу атома как параметр. В области предельно низких энергий, когда $kR_0 \ll 1$, существенно только s – расстояние и соответствующая фаза имеет вид

$$\delta_0 = - \frac{\pi}{2} \frac{1}{\ln \frac{1}{k\rho_t}} + n\pi. \quad (1)$$



Зависимость фазы двумерного рассеяния δ_0 от приведенной массы m^* . Кривые 1 и 2 отвечают $k = 2 \cdot 10^{-3} \text{ \AA}^{-1}$ и $k = 2 \cdot 10^{-2} \text{ \AA}^{-1}$

Здесь $\rho_t > 0$ — двумерный аналог длины рассеяния, зависящий как от потенциала взаимодействия, так и от массы частиц, n — число дискретных уровней. На рисунке приведена найденная зависимость δ_0 от приведенной массы m^* . Стрелками выделены значения, отвечающие водороду,дейтерию и тритию. Видно, что в случае трития имеется связанные состояния, тогда как в случае $H\uparrow - H\uparrow$ и $D\uparrow - D\uparrow$ оно отсутствует. Двумерная триплетная длина рассеяния для водорода оказалась равной $\rho_t \approx 0,9 \text{ \AA}$.

Зная $\delta_0(k)$ можно непосредственно получить выражение для энергии пары частиц

$$E(k) = \frac{2\pi\hbar^2}{mS} \frac{1}{\ln \frac{1}{k\rho_t}} . \quad (2)$$

Здесь S — площадь поверхности, m — масса атома, k — относительный импульс частиц ($kR_0 \ll 1$), малый член, отвечающий кинетической энергии опущен.

Если теперь взять в качестве характерного значения k в (2) обратное среднее расстояние между частицами ($k \sim \sqrt{n_s}$, где n_s — поверхностная плотность атомов), то вытекающее из (2) выражение для химпотенциала разреженного двумерного бозе-газа будет с точностью до численного множителя под логарифмом совпадать с точным выражением ($T \rightarrow 0$, $n_s R_0^2 \ll 1$). Последнее может быть получено с помощью диаграммной техники, развитой Беляевым⁷, и имеет вид

$$\mu_s = \frac{4\pi\hbar^2 n_s}{m} \frac{1}{\ln \frac{1}{4\pi n_s \rho_t^2}} . \quad (3)$$

Формула вида (3) была найдена ранее для модели твердых дисков в работе Шика⁸.

Существенно, что в отсутствии связанного состояния у пары частиц знак фазы (1), а вместе с тем и знак энергии пары (2) и химпотенциала (3) строго определены независимо от вида потенциала взаимодействия. Эффективно всегда имеет место отталкивание и это предопределяет стабильность при $T = 0$ газовой фазы. Результаты приближенных численных расчетов для рассматриваемой двумерной системы поляризованного атомарного водорода при больших плотностях^{9, 10} также указывают на положительность химпотенциала и его монотонный рост с возрастанием плотности. Это позволяет считать, что газовое состояние такой системы является истинно стабильным (а не метастабильным).

При равновесии газа в объеме и на поверхности принимая во внимание, что для $n_v < 10^{20} \text{ см}^{-3}$ объемный химпотенциал $\mu_v \ll \epsilon_0$, для адсорбированного на гелиевой пленке атомарного водорода получаем следующие предельные значения поверхностной плотнос-

ти (ср. 11)

$$n_s^0 \simeq \begin{cases} 5 \cdot 10^{13} \text{ см}^{-2}, \text{He}^4, \epsilon_0 \simeq 0,9K^{1,2,12} \\ 2,5 \cdot 10^{13} \text{ см}^{-2}, \text{He}^3 - \text{He}^4, \epsilon_0 \simeq 0,35^{4,5} \end{cases} . \quad (4)$$

3. Из (4) можно заключить, что на гелиевой поверхности поляризованный атомарный водород всегда адсорбируется в виде сравнительно разреженной газовой фазы. Это утверждение только усиливается по мере уменьшения ϵ_0 . Однако при этом, как мы уже отмечали, газовая фаза перестает быть чисто двумерной.

Рассмотрим случай достаточно малых значений ϵ_0 . Тогда на расстояниях от поверхности z , больших $R^* (R^* \sim R_0)$ — эффективный размер области взаимодействия частицы с поверхностью, волновая функция адсорбированной частицы будет иметь вид

$$\phi(z) \simeq \left(\frac{2}{l} \right)^{1/2} \exp \left(-\frac{z}{l} \right),$$

где $l = \hbar / \sqrt{2m\epsilon_0}$. При этом для пары частиц, движущихся вдоль поверхности с импульсами $k_{1,2} \rightarrow 0$ и имеющих потенциал взаимодействия $U(r)$, выражение для энергии может быть записано в следующем виде:

$$E = \int \Psi(\vec{r}, z_1, z_2) U(r) \Psi_0(\vec{r}, z_1, z_2) d\vec{r} dz_1 dz_2. \quad (5)$$

Здесь \vec{r} — проекция вектора относительного расстояния между частицами r на поверхность, $\Psi(\vec{r}, z_1, z_2)$ — истинная волновая функция пары, $\Psi_0 = \frac{1}{\sqrt{S}} \phi(z_1) \phi(z_2)$ — волновая функция свободного движения частиц, учитывающая их взаимодействие только с поверхностью.

В пределе $l \gg R_0$ основной вклад в интеграл (5) набирается на расстояниях от поверхности $z_{1,2}$, существенно превышающих R_0 . Поэтому, выделяя в явном виде движение центра инерции пары, имеем

$$\Psi \simeq \frac{2}{\sqrt{Sl}} \exp \left(-\frac{z_1 + z_2}{l} \right) \chi(r). \quad (6)$$

Здесь $\chi(r)$ — волновая функция трехмерного относительного движения частиц. При r , заметно больших R_0 , функция $\chi(r) \rightarrow 1$.

Подставляя (6) в (5), находим

$$E = \frac{4\pi\hbar^2 a_t}{mSl}, \quad (7)$$

где a_t — трехмерная длина рассеяния. При этом для химпотенциала адсорбированного газа вместо (3) имеем

$$\mu_s = \frac{4\pi\hbar^2 a_t n_s}{ml}. \quad (8)$$

Интересно отметить, что в отличие от чисто двумерного случая знак химпотенциала μ_s (8), вообще говоря, может быть как положительным, так и отрицательным в зависимости от знака a_t . Для поляризованного атомарного водорода, однако, $a_t = 0,72 \text{ \AA} > 0$ ^{3,13} и μ_s по-прежнему растет с возрастанием n_s , что отвечает стабильности квазидвумерной газовой фазы при $T = 0$.

Из условия $\mu_s = \epsilon_0$ следует, что с уменьшением ϵ_0 предельная поверхностная плотность падает по закону

$$n_s^0 \sim \sqrt{\epsilon_0} \quad (9)$$

т. е. существенно медленнее, чем в чисто двумерном случае. На поверхности, покрытой пленкой $\text{He}^3 - \text{He}^4$, вместо (4) получаем

$$n_s^0 \simeq 7 \cdot 10^{13} \text{ см}^{-2}. \quad (10)$$

4. При выделении поляризованного водорода в чистом спиновом состоянии (спины ядра и электрона параллельны) и поверхностной плотности, близкой к n_s^0 (10), ведущим каналом рекомбинации на поверхности является рекомбинация при столкновениях трех атомов водорода за счет спинового диполь-дипольного взаимодействия (см.: подробнее³). Если $l \gg R_0$, то этот процесс происходит фактически также, как и в объеме. Основное отличие связано с тем, что теперь волновая функция начального состояния имеет вид

$$\Psi_i \cong \frac{1}{S} \left(\frac{2}{l} \right)^{3/2} \exp \left\{ - \frac{z_1 + z_2 + z_3}{l} \right\} \chi_i \left(r_1 - r_2, r_3 - \frac{r_1 + r_2}{2} \right)$$

(χ_i – волновая функция трехмерного движения в системе центра инерции). При разведении частиц на расстояния, существенно большие R_0 , функция $\chi_i \rightarrow 1$. Конечную волновую функцию можно представить в виде произведения нормированной на единицу волновой функции движения центра инерции и волновой функции относительного движения частиц χ_f , совпадающей с аналогичной функцией для объемной рекомбинации. В результате константа скорости поверхностной дипольной рекомбинации оказывается равной

$$a_v^d \cong \frac{4}{3l} a_s^d \sim \epsilon_0, \quad (11)$$

где a_v^d – константа скорости объемной дипольной рекомбинации, найденная в³. Отсюда для числа актов поверхностной рекомбинации в единицу времени на единице поверхности при $T \rightarrow 0$ ($n_s \cong n_s^0$) имеем

$$\nu_s = a_v^d n_s^{0.3} \sim \epsilon_0^{5/2}.$$

Как было показано в³, оптимальным способом достижения сверхнизких температур, в частности, отвечающих бозе-конденсации в объеме, является накопление поляризованного водорода именно в чистом спиновом состоянии. В этом случае обратное эффективное время распада системы $(1/\tau_{eff}) \approx (\nu_s S + \nu_v V) / (n_s^0 S + n_v V)$ оказывается минимальным при объемной плотности ($n_s^0 S \ll n_v V$)

$$\tilde{n}_v \cong \left(\frac{a_v^d S}{2a_v^d V} \right)^{1/3} n_s^0 \sim \epsilon_0^{5/6} \quad (12)$$

и имеет величину

$$\frac{1}{\tau_{eff}} \cong 3a_v^d n_v^2 \sim \epsilon_0^{5/3}. \quad (13)$$

В случае поверхности, покрытой пленкой $\text{He}^3 - \text{He}^4$, плотность $\tilde{n}_v \cong 4 \cdot 10^{18} \text{ см}^{-3}$ и, воспользовавшись найденной в³ величиной $a_v^d \cong 4 \cdot 10^{-39} \text{ см}^6/\text{с}$ ($H \approx 10^5 \text{ Г}$), мы имеем $\tau_{eff} \sim 10 \text{ с}$. Это время может быть увеличено либо дальнейшим уменьшением ϵ_0 , либо за счет неравновесной ситуации, приводящей к условию $n_s < n_s^0$.

Литература

1. Matthey A.P.M., Walraven J.T.M., Silvera I.F. Phys. Rev. Lett., 1981, **46**, 668.
2. Cline R.W., Greytak T.J., Kleppner D. Phys. Rev. Lett., 1981, **47**, 1195.
3. Каған Ю., Вартанянц И.А., Шляпников Г.В. ЖЭТФ, 1981, **81**, 1113.
4. Van Yperen G.H., Matthey A.P., Walraven J.T.M., Silvera I.F. Phys. Rev. Lett., 1981, **47**, 800.
5. Jachymski R., Morrow M., Berlinsky A.J., Hardy W.N. Phys. Rev. Lett., 1981, **47**, 852.
6. Kolos W., Wolniewicz L. J. Chem. Phys., 1965, **43**, 2429; Chem. Phys. Lett., 1974, **24**, 457.
7. Беляев С.Т. ЖЭТФ, 1958, **34**, 433.
8. Schick M. Phys. Rev., 1971, A3, 1067.

9. *Miller M.D., Nosanow L.H.* J. Low Temp Phys., 1978, **32**, 145.
10. *Lantto L.J., Nieminen R.M.* J. Phys. (Paris), 1980, **41**, C7-49.
11. *Silvera I.F., Goldman V.V.* Phys. Rev. Lett., 1980, **45**, 915.
12. *Morrow M., Jochemsen R., Berlinsky A.J., Hardy W.N.* Phys. Rev. Lett., 1981, **46**, 195.
13. *Friend D.G., Etters R.D.* J. Low Temp. Phys., 1980, **39**, 409.

Институт атомной энергии
им. И.В.Курчатова

Поступила в редакцию
1 апреля 1982 г.